

ارزیابی خواص مکانیکی مخلوط‌های آسفالتی حاوی مواد افزودنی ضد عریان‌شدگی گریپ، تراگریپ و وتمول-۹۵۰*

مقاله پژوهشی

افشار یوسفی عباسعلیلو^(۱) و شیبار محمدحسن^(۲) علیرضا سقایی^(۳) پویان ایار^(۴) محمود عامری^(۵)

چکیده در این تحقیق به ارزیابی تأثیر استفاده از افزودنی‌های گریپ، تراگریپ و وتمول-۹۵۰ به‌عنوان مواد افزودنی ضد عریان‌شدگی بر خواص مکانیکی مخلوط‌های آسفالتی داغ پرداخته شده است. بدین منظور از آزمایش‌های مکانیکی مختلف نظیر خزش دینامیکی، آزمایش مدول برجهندگی در دمای ۲۵ درجه سانتی‌گراد، آزمایش کشش غیرمستقیم و آزمایش خمش نیم دایره‌ای در دمای ۲۵ درجه سانتی‌گراد استفاده گردید. نتایج آزمایش‌های مکانیکی نشان داد که همه‌ی افزودنی‌های مورد استفاده در این تحقیق مقاومت در برابر حساسیت رطوبتی، مقاومت در برابر شیارشدگی و مقاومت در برابر ترک‌خوردگی مخلوط‌های آسفالتی را افزایش دادند. به‌طوری‌که مخلوط آسفالتی حاوی افزودنی تراگریپ نسبت به بقیه‌ی افزودنی‌های مورد استفاده در این تحقیق، با افزایش ۴۳ درصدی مقاومت در برابر شیارشدگی و ۴۹/۶ درصدی مقاومت در برابر ترک‌خوردگی بیشترین مقاومت را در برابر ترک‌خوردگی و شیارشدگی از خود نشان داده است. همچنین مخلوط آسفالتی حاوی وتمول-۹۵۰ با ۲۵ درصد افزایش مقاومت در برابر خرابی رطوبتی بیشترین مقاومت در برابر حساسیت رطوبتی را از بین افزودنی‌های مختلف این تحقیق نشان داده است. از طرف دیگری نتایج آنالیز همبستگی بین نتایج آزمایش‌های عملکردی مخلوط‌های آسفالتی نشان داد که بین برخی آزمایش‌های انجام شده همبستگی و ارتباط بیشتری وجود دارد. به‌طوری‌که ضریب همبستگی بین پارامتر نسبت مقاومت کششی غیرمستقیم و نسبت مدول برجهندگی در حالت تر و خشک (RMR و TSR) با 0.474 بیشترین همبستگی را بین پارامترهای مختلف آزمایش‌های عملکردی دارد.

واژه‌های کلیدی مخلوط آسفالتی داغ، افزودنی‌های ضد عریان‌شدگی، خزش دینامیکی، مدول برجهندگی، آزمون خمش نیم‌دایره‌ای.

مقدمه

می‌تواند باعث کاهش دوام و عریان‌شدگی، جمع‌شدگی و چاله‌شدگی روسازی‌های آسفالتی شده و خرابی‌های نظیر شیارشدگی و ترک‌های ناشی از خستگی را نیز به وجود بیاورد [11,12]. همواره به‌منظور افزایش دوام و مقاومت در برابر حساسیت رطوبتی مخلوط‌های آسفالتی، استفاده از افزودنی‌های ضد عریان‌شدگی، آهک هیدراته و پلیمر بیشتر مورد توجه بسیاری از محققان صنعت آسفالت قرار گرفته است [13-16]. افزودنی مایع ضد عریان‌شدگی با تغییر خواص سطح مصالح سنگی و بهبود چسبندگی بین قیر و مصالح سنگی باعث افزایش مقاومت در برابر حساسیت رطوبتی و عریان‌شدگی مخلوط‌های آسفالتی می‌شوند [17,18].

عامری و همکارانش در سال ۲۰۱۸ به بررسی تأثیر

به‌منظور ارزیابی عریان‌شدگی و حساسیت رطوبتی مخلوط‌های آسفالتی از روش‌ها و آزمایش‌های متعددی از قبیل: لاتمن اصلاح‌شده (AASHTO T283)، آزمایش ویل ترک (Wheel Tracking Test)، مدول برجهندگی، روش‌های انرژی بر پایه نظریه انرژی آزاد سطحی (Surface Free Energy) بین قیر و سنگدانه استفاده می‌شود [1-5]. حساسیت رطوبتی مخلوط‌های آسفالتی می‌تواند تحت تأثیر عوامل مختلفی نظیر نوع قیر و خصوصیات شیمیایی قیر، میزان پیرشدگی قیر، نوع مصالح سنگی، دانه‌بندی مصالح سنگی و دمای اختلاط و دمای تراکم مخلوط‌های آسفالتی و سایر اجزای تشکیل‌دهنده‌ی مخلوط‌های آسفالتی قرار بگیرد [6-10]. نفوذ رطوبت به مخلوط آسفالتی

* تاریخ دریافت مقاله ۱۴۰۰/۷/۱۵ و تاریخ پذیرش آن ۱۴۰۰/۱۰/۱۸ می‌باشد.

(۱) کارشناسی ارشد، دانشکده مهندسی عمران، دانشگاه علم و صنعت ایران، تهران.

(۲) کارشناسی ارشد، مهندسی عمران، دانشگاه آزاد اسلامی واحد علوم و تحقیقات، تهران.

(۳) کارشناسی ارشد، دانشکده مهندسی عمران، دانشگاه علم و صنعت ایران، تهران.

(۴) نویسنده مسئول، استادیار، دانشکده مهندسی عمران، دانشگاه علم و صنعت ایران، تهران.

(۵) استاد، دانشکده مهندسی عمران، دانشگاه علم و صنعت ایران، تهران.

ترمودینامیکی استفاده کردند. نتایج این تحقیق نشان داد که مخلوط‌های آسفالت حاوی فیلر از نوع سیمان پرتلند نسبت به سایر فیلر های مورد استفاده در این تحقیق از نظر مقاومت در برابر حساسیت رطوبتی در تمام سیکل‌های ذوب و یخ عملکرد بهتری را نشان می‌دهند [22]. همچنین در سال ۲۰۲۰ عامری و همکارانش با استفاده از رویکرد انرژی آزاد سطحی و پارامترهای ترمودینامیکی تأثیر افزودنی‌های زایکوترم، و تمول-۹۵۰، گریپر، اوونیک و تراگریپ را بر خرابی رطوبتی مخلوط‌های آسفالتی را ارزیابی کردند. نتایج این تحقیق نشان داد که افزودنی‌های مورد استفاده با افزایش مقدار انرژی لازم برای پیوستگی و چسبندگی بین قیر و مصالح سنگی مقاومت در برابر خرابی رطوبتی را افزایش داده است که از بین افزودنی‌های مورد استفاده زایکوترم و تمول-۹۵۰ بیشترین مقاومت در برابر خرابی رطوبتی را نسبت به سایر افزودنی‌های مورد استفاده داشته است [23].

هرچند استفاده از افزودنی‌های ضد عریان شدگی می‌تواند مقاومت مخلوط‌های آسفالتی را در برابر عریان شدگی افزایش دهد ولی می‌تواند بر بقیه‌ی پارامترها و خواص مکانیکی مخلوط‌های آسفالتی تأثیرهای مختلفی داشته باشد. بنابراین شناخت و درک رفتار افزودنی ضد عریان شدگی در مخلوط‌های آسفالتی و تأثیر آن‌ها بر خواص مکانیکی یک پیش‌نیاز اساسی جهت ساخت مخلوط‌های آسفالتی مقاوم در برابر خرابی عریان شدگی و سایر خرابی‌های نظیر شیار شدگی و مقاومت در برابر ترک خوردگی هست.

در این پژوهش، تأثیر سه نوع افزودنی ضد عریان شدگی مختلف (گریپر، تراگریپ و تمول-۹۵۰) بر خواص مکانیکی مخلوط‌های آسفالتی با استفاده از آزمایش‌های مدول برجهندگی، خزش دینامیکی، آزمایش مکانیک شکست، و تنش کششی غیرمستقیم مورد ارزیابی قرار گرفته و با یکدیگر مقایسه شده‌اند.

مصالح مصرفی در ساخت مخلوط‌های آسفالتی

در این قسمت، مصالح مورد استفاده در این تحقیق شامل مصالح سنگی، قیر و مواد افزودنی ضد عریان شدگی مورد استفاده معرفی می‌شوند.

مصالح سنگی. در این پژوهش از مصالح سلیسی تهیه شده از کارخانه آسفالت شرکت هادپی واقع در شهر تهران با حداکثر

زایکوترم (Zycotherm) و ایوانیک (Evonik) و آهک هیدراته به‌عنوان افزودنی‌های ضد عریان شدگی بر خواص مکانیکی مخلوط‌های آسفالتی با استفاده از آزمایش‌های لاتمن اصلاح شده و آب جوشان، آزمایش خزش دینامیکی و مدول برجهندگی پرداختند. نتایج آن‌ها نشان داد که افزودنی‌های مختلف مورد استفاده در این تحقیق تأثیر مثبتی بر حساسیت رطوبتی مخلوط‌های آسفالتی داشته و مقاومت در برابر حساسیت رطوبتی را افزایش داده است. به طوری که استفاده از زایکوترم نسبت به بقیه‌ی افزودنی‌ها بیشترین تأثیر بر مقاومت در برابر حساسیت رطوبتی را داشته است. همچنین نتایج این تحقیق نشان داد که استفاده از آهک هیدراته بیشترین تأثیر بر مقاومت در برابر شیار شدگی مخلوط‌های آسفالتی را داشته است [19]. نخعی و همکارانش نیز در سال ۲۰۱۸ به ارزیابی مقاومت مخلوط‌های آسفالتی حاوی وکس‌های اتیلن بی استارامید (Ethylene-Bis-) (Stearamide) و پلی‌اتیلن (Polyethylene) در برابر حساسیت رطوبتی با مصالح سنگی مختلف و در دمای تولید مختلف با استفاده از آزمایش لاتمن اصلاح شده پرداختند. نتایج نشان داد که اتیلن بی استارامید مقاومت مخلوط‌های آسفالتی را در برابر حساسیت رطوبتی بهتر کرده است. از طرفی همچنین نتایج نشان داد که تأثیر پلی‌اتیلن بر حساسیت رطوبتی مخلوط‌های آسفالتی بستگی به دمای تولید مخلوط‌های آسفالتی داشته است. به طوری که در دماهای بالای تراکم، تأثیر عکسی بر حساسیت رطوبتی مخلوط‌های آسفالتی داشته است [20]. کاراهانسر و همکارانش به ارزیابی حساسیت رطوبتی مخلوط‌های آسفالتی حاوی ۳ و ۵ درصد وزن قیر خالص از آلومینیم اکسید (Al_2O_3) و ۰,۳ و ۰,۵ درصد پودر نانو سیلیکا (SiO_2NP) با استفاده از آزمایش لاتمن اصلاح شده پرداختند. نتایج نشان داد که از بین مخلوط‌های انتخاب شده، مخلوط آسفالتی ساخته شده با ۰,۳ درصد نانو سیلیکا و ۳ درصد آلومینیم اکسید بیشترین مقاومت در برابر حساسیت رطوبتی را داشته و افزایش درصد استفاده از این افزودنی‌ها، مقاومت در برابر عریان شدگی مخلوط‌های آسفالتی را کاهش داده است [21]. در سال ۲۰۱۹ ارباب پور بیگدلی و همکارانش به منظور ارزیابی تأثیر تراشه بتن، فیلر آهکی، سیمان پرتلند و پودر سنگ سلیسی به‌عنوان مصالح فیلر در مخلوط‌های آسفالتی بر حساسیت رطوبتی مخلوط‌های آسفالتی تحت سیکل‌های ذوب و یخ متعدد (۱، ۳، ۶، ۱۰)، از آزمایش‌های مدول بر جهندگی و تنش کششی غیرمستقیم به‌عنوان آزمایش‌های مکانیکی و آزمایش انرژی آزاد سطحی به‌عنوان رویکرد

گریپر یک استر آلی با ساختار RCO_2R' است که در آن R و R' هیدروکربن‌های موجود در استر هستند. این افزودنی با ایجاد یک پیوند کووالانسی قوی بین قیر و مصالح سنگی باعث افزایش نیروی پیوستگی و چسبندگی بین قیر و مصالح سنگی شده و از جریان شدگی مخلوط آسفالتی جلوگیری می‌کند. از طرفی تراگریپ و وتمول، عامل‌های دارای آلکیل آمید و پلی آمین هستند که به دلیل ایجاد واکنش قوی با سطح اسیدی بخصوص مصالح سنگی سلیسی یک سطح آب‌گریز در سطح مصالح سنگی ایجاد کرده و باعث افزایش مقاومت در برابر حساسیت رطوبتی می‌شوند [26]. زنجیر هیدروکربنی بلند موجود در آمین‌ها سازگار با قیر بوده و با ایجاد یک یون آمینی $R-NH_3$ با بار مثبت (کاتیونی) در حضور آب می‌تواند نقش یک پل ارتباطی بین سنگدانه‌های آب‌دوست و قیر آب‌گریز را برای ایجاد پیوند قوی بین آنها داشته باشد [27]. پس از بررسی پژوهش‌های انجام‌شده و پیشنهاد‌های شرکت‌های تولیدکننده مواد، مقدار استفاده از هر نوع افزودنی‌ها تعیین گردید. در جدول (۱) خواص فیزیکی و مقادیر استفاده از مواد ضد جریان شدگی بیان‌شده است.

اندازه‌ی اسمی ۱۹ میلی‌متر استفاده گردیده است. ویژگی‌های مصالح با معیارهای آیین‌نامه روسازی آسفالتی ایران (نشریه ۲۳۴) کنترل شد.

دانه‌بندی مصالح سنگی. در این پژوهش مصالح سنگی مخلوط‌های آسفالتی با توجه به استاندارد و محدودیت‌های طرح اختلاط روسازی ممتاز مطابق SHRP A-407, SHRP A-410 و با حداکثر اندازه‌ی اسمی برابر با ۱۹ میلی‌متر انتخاب‌شده‌اند همچنین در این مطالعه از مصالح عبوری از الک شماره ۲۰۰ همین مصالح به‌عنوان فیلر انتخاب گردیده است [24, 25].

قیر مصرفی. در این پژوهش از قیر ۶۰/۷۰ شرکت نفت پاسارگاد برای ساخت نمونه‌های آسفالتی استفاده‌شده است.

افزودنی ضد جریان شدگی. در این پژوهش از ۳ نوع از افزودنی ضد جریان شدگی مختلف (گریپر، تراگریپ و وتمول-۹۵۰) به‌منظور بهبود خواص مکانیکی مخلوط آسفالتی به‌خصوص مقاومت در برابر خرابی ناشی از حساسیت رطوبتی مورد استفاده قرار گرفته است.

جدول ۱ خواص فیزیکی افزودنی‌های استفاده‌شده

خواص فیزیکی	درصد استفاده (نسبت به وزن کل قیر)	نوع افزودنی
حالت فیزیکی: مایع	۰/۴٪	گریپر (GRIPPER® L)
رنگ: زرد		
ویسکوزیته (20°C): ۲,۵ پاسکال ثانیه		
چگالی (gt/cm ³ at 20°C): ۱,۰۲		
نقطه نرمی: بیشتر از ۱۵۰	۰/۴٪	تراگریپ (TeraGrip)
حالت فیزیکی: مایع		
رنگ: عسلی		
چگالی (gt/cm ³ at 20°C): ۰,۹۶-۰,۹۴		
نقطه نرمی: بیشتر از ۱۵۰	۰/۵٪	وتمول-۹۵۰ (WETMUL-950)
حالت فیزیکی: مایع		
رنگ: قهوه‌ای		
چگالی (gt/cm ³ at 20°C): ۰,۹۶-۰,۹۴		
حلالیت در آب: قابلیت حلالیت ندارد.		
حلالیت در هیدروکربن: محلول		

در این تحقیق، تعداد دوران برابر ۱۲۱ در نظر گرفته شده است) برابر ۴ درصد بوده و شرایط لازم طبق آیین‌نامه روسازی ممتاز برای مقدار درصد فضای خالی مصالح سنگی (VMA) و درصد فضای خالی پر شده با قیر (VFA) و نسبت گردوخاک (Dust proportion) را داشته باشد، به‌عنوان درصد بهینه قیر مخلوط آسفالتی تعریف می‌شود [24,28]. در جدول (۲) نتایج پارامترهای حجمی برای مخلوط آسفالتی حالت پایه بیان شده است.

جدول ۲ نتایج پارامترهای حجمی برای مخلوط‌های آسفالتی

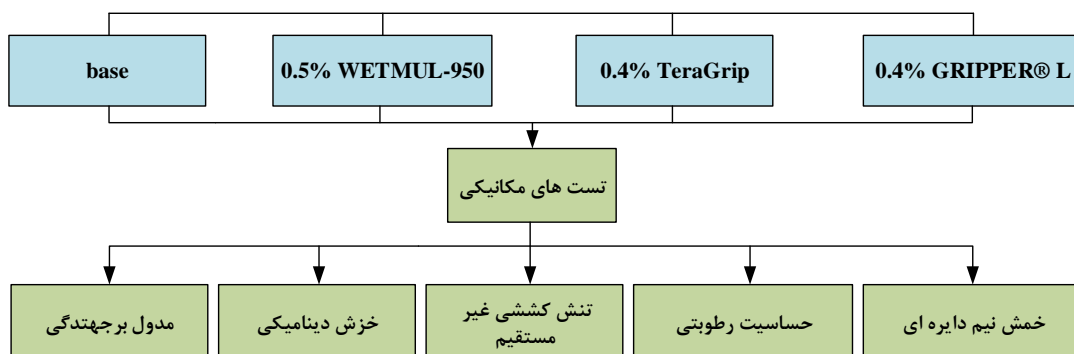
پارامترهای حجمی مخلوط آسفالتی	نتایج	محدوده روسازی ممتاز
V_a (%)	۴	۴
Pb (%)	۵/۳۰	---
VMA (%)	۱۶/۳۳	>۱۳%
VFB (%)	۶۹/۲۰	۶۵%-۷۵%
نسبت گردوخاک	۱/۱۷	۰/۱-۶/۲
Gmm (g/cm ³)	۲/۳۱۶	-

برنامه‌ی آزمایشگاهی

به‌منظور ارزیابی خواص مکانیکی مخلوط‌های آسفالتی، آزمایش تنش کششی غیرمستقیم، نسبت تنش‌های کششی غیرمستقیم در حالت تر و خشک، مدول برجهندگی در حالت تر و خشک و آزمایش شکست خمش نیم دایره‌ای در دمای متوسط انجام گرفت. که در شکل (۱) برنامه آزمایشگاهی این تحقیق نشان داده شده است.

تعیین درصد قیر بهینه و ساخت مخلوط‌های آسفالتی
در این پژوهش، به‌منظور آماده کردن قیرهای اصلاح‌شده با افزودنی‌های ضد عریان شدگی، افزودنی‌ها در مدت ۱۵ دقیقه به قیر خالص با دمای ۱۵۰ درجه سانتی‌گراد اضافه گردید. پس از اصلاح قیر با افزودنی‌های ضد عریان شدگی، به‌منظور تعیین میزان قیر بهینه در مخلوط آسفالت از روش طرح اختلاط روسازی ممتاز با سطح ۱ و با در نظر گرفتن ترافیک بیش از ۱۰ میلیون و کمتر از ۳۰ میلیون (سطح ۵ از سطوح ترافیک) و حداکثر دمای ۴۱-۳۹ درجه سانتی‌گراد استفاده شده است. وزن مصالح سنگی موردنظر، ۱۲۰۰ گرم و دارای درصد قیرهای ۴/۵ تا ۶ درصد (با اختلاف مقدار ۰/۵ درصد) بودند که از هرکدام سه نمونه تهیه شده است. قبل از ساخت نمونه‌های آسفالتی مصالح سنگی به مدت ۲۴ ساعت در دمای ۱۵۵ درجه سانتی‌گراد و قیر به مدت ۱ ساعت در دمای ۱۴۵ درجه سانتی‌گراد در آن قرارداد شده‌اند. به‌منظور تراکم نمونه‌های ساخته شده از دستگاه متراکم کننده ژیراتوری بجای روش تراکم مارشال با وارد کردن همزمان یک نیروی استاتیکی و نیروهای برشی ناشی از دوران قالب حول راستایی قائم، عمل ورز دادن و تراکم مخلوط آسفالتی استفاده شده است. مقدار دوران طرح (Nd) برای تراکم نمونه‌ها با استفاده از دستگاه متراکم کننده ژیراتوری بر اساس سطح ترافیک و حداکثر دمای هفت روز در محل اجرای پروژه روسازی برابر ۱۲۱ انتخاب شده است [25].

قیر بهینه برای هر یک از مخلوط‌های آسفالتی موردنظر بر اساس استاندارد روسازی ممتاز (AASHTO M323)، جهت تعیین میزان، درصد قیر استفاده شده در مخلوط آسفالتی که در آن درصد فضای خالی مخلوط در تعداد دوران طرح مخلوط (که



شکل ۱ برنامه آزمایشگاهی مورد استفاده در این پژوهش

خزش دینامیکی

در این تحقیق از آزمایش خزش دینامیکی و پارامتر عدد جریان به‌عنوان یکی از مهم‌ترین خروجی‌های آزمایش خزش دینامیکی برای ارزیابی تأثیر افزودنی‌های ضد‌عریان شدگی بر شیار شدگی مخلوط‌های آسفالتی استفاده شده است. به‌منظور انجام این آزمایش از دستگاه UTM-5P و بارگذاری برابر با ۴۱۴ کیلو پاسکال به‌صورت سینوسی و سیکل ۰/۵ و ۱/۵ ثانیه بارگذاری و باربرداری بر روی نمونه‌های صورت گرفت. قبل از انجام آزمایش نمونه‌های آزمایش خزش دینامیکی به مدت ۵ ساعت در دمای ۵۴/۴ درجه‌ی سانتی‌گراد قرار داده شدند.

نمودار تعداد سیکل بارگذاری به مقدار کرنش تجمعی به‌عنوان خروجی دستگاه آزمایش خزش دینامیکی که در شکل (۲) نمایش داده شده است از سه ناحیه‌ی مشخص ناحیه‌ی اولیه (۱) ثانویه (۲) ناحیه سوم (۳) تشکیل شده است که افزایش سریع مقدار کرنش تجمعی در ناحیه‌ی اول رخ داده و با ورود به ناحیه‌ی دوم از مقدار سرعت افزایش کرنش تجمعی کاسته شده و نمودار شیب ثابتی به خود می‌گیرد. سپس با ورود به ناحیه‌ی سوم دوباره مقدار کرنش تجمعی افزایش می‌یابد که به تعداد سیکلی که نمودار در آن تعداد سیکل به ناحیه سوم وارد می‌شود به‌عنوان عدد روانی (Flow Number) به حساب می‌آید. در این پژوهش برای به دست آوردن عدد روانی طبق رابطه زیر از مدل فرانکین استفاده شده است [29].

$$\varepsilon_p = An^B + C(e^{Dn} - 1) \quad (1)$$

در این رابطه ε_p برابر با مقدار کرنش تجمعی در سیکل‌های بارگذاری مختلف بوده و ضرایب A, B, C, D نیز ضرایب ثابتی هستند.

مقدار عدد روانی برای نمونه‌های مختلف مخلوط آسفالتی با دو بار مشتق‌گیری از معادله‌ی فرانکین و تعداد سیکل بارگذاری که در آن مشتق دوم معادله‌ی فرانکین از منفی به مثبت تغییر کند طبق روابط زیر به دست می‌آید:

$$\frac{d\varepsilon_p}{dn} = ABn^{B-1} + CDe^{Dn} \quad (2)$$

$$\frac{d^2\varepsilon_p}{dn^2} = AB(B-1)n^{B-2} + CD^2e^{Dn} \quad (3)$$

$$ITS = \frac{2P}{\pi.D.t} \quad (4)$$

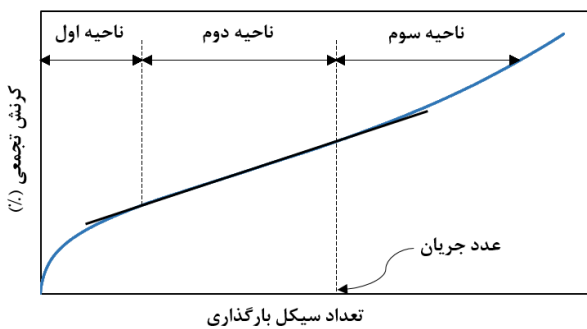
تنش کششی غیرمستقیم و حساسیت رطوبتی

به‌منظور ارزیابی مقاومت در برابر حساسیت رطوبتی مخلوط‌های آسفالتی، از آزمایش تنش کششی غیرمستقیم طبق استاندارد AASHTO T 283 استفاده می‌گردد. مقاومت کششی غیرمستقیم آن‌ها طبق رابطه زیر محاسبه می‌شود.

در این رابطه‌ی P برابر با حداکثر نیروی وارد بر نمونه (kN)، t و D برابر با ضخامت و قطر نمونه‌های آسفالت برحسب mm هستند.

نسبت تنش کششی غیرمستقیم نیز از تقسیم متوسط مقدار تنش کششی غیرمستقیم حالت تر به خشک طبق رابطه‌ی زیر به دست می‌آید.

$$TSR = \frac{ITS_{تر}}{ITS_{خشک}} \times 100 \quad (5)$$



شکل ۲ نمودار تعداد سیکل بارگذاری- کرنش تجمعی نمودار خزش

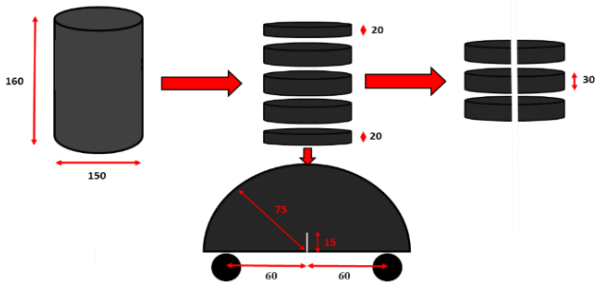
دینامیکی [29]

مدول برجهنگی و نسبت مدول برجهنگی Resilient (Modulus Ratio)

به‌منظور طراحی و تعیین ضخامت روسازی‌های آسفالتی از نتایج آزمایش مدول برجهنگی استفاده می‌شود. هر چه مقدار مدول برجهنگی برای یک مخلوط آسفالتی بیشتر باشد، مقدار ضخامت محاسبه شده برای روسازی کمتر خواهد بود. این آزمایش طبق آیین‌نامه ASTM D4123 و در دمای ۲۵ درجه‌ی سانتی‌گراد و تحت فرکانس ۱ هرتز و بارگذاری سینوسی بر روی نمونه‌ها انجام می‌گیرد. مقدار مدول برجهنگی نمونه‌ها آسفالت طبق رابطه‌ی (۶) محاسبه می‌شود.

$$M_R = \frac{(v+0.2734)P}{tH} \quad (6)$$

آسفالتی و شاخص انعطاف‌پذیری برای ارزیابی مقاومت در برابر ترک‌خوردگی مخلوط‌های آسفالتی استفاده شده است.



شکل ۳ مراحل آماده‌سازی نمونه‌های SCB



شکل ۴ نحوه قرارگیری نمونه در دستگاه یونیورسال

انرژی لازم برای شکست (*Fracture Energy*). در این تحقیق به منظور ارزیابی ظرفیت کلی مخلوط‌های آسفالتی برای مقاومت در برابر ترک‌خوردگی از شاخص مقدار انرژی لازم برای شکست استفاده شده است که طبق رابطه‌ی زیر از تقسیم سطح زیر منحنی نمودار جابه‌جایی - نیرو به سطح مقطع ترک‌خورده به دست می‌آید.

$$G_f = \frac{W_f}{A} = \int (P) du / A \quad (۸)$$

در این رابطه G_f برابر با مقدار انرژی لازم برای شکست، W_f برابر با کار لازم برای شکست مخلوط‌های آسفالتی (J) و A سطح مقطع ترک‌خورده نمونه‌ی نیم‌دایره‌ای برحسب (m^2) است.

در این رابطه H و v, P, t به ترتیب ضخامت نمونه‌ها برحسب میلی‌متر، نیروی وارد بر نمونه‌ها، نسبت پواسون و میزان تغییر شکل برگشت‌پذیر است که در این تحقیق مقدار پواسون برابر 0.35 و مقدار بار وارده برابر 400 نیوتون در نظر گرفته شده است.

همچنین در این پژوهش طبق رابطه‌ی زیر از نسبت مدول برجهنگی در حالت تر و خشک نیز برای ارزیابی حساسیت رطوبتی مخلوط‌های آسفالتی استفاده شده است. شرایط عمل‌آوری نمونه‌های حالت تر آزمایش مدول برجهنگی دقیقاً مانند شرایط عمل‌آوری نمونه‌های تر آزمایش مقاومت کششی غیرمستقیم بوده است.

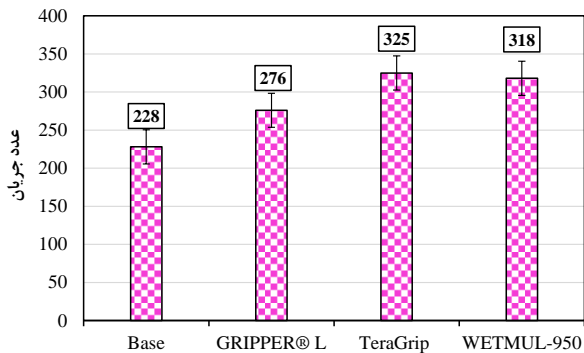
$$RMR = \frac{M_{تر}}{M_{خشک}} \times 100 \quad (۷)$$

خمش نیم‌دایره‌ای (SCB)

ترک‌خوردگی به‌عنوان یکی از مهم‌ترین خرابی‌های روسازی آسفالتی در دمای متوسط و پایین است. در این تحقیق از آزمایش خمش نیم‌دایره‌ای به‌عنوان یکی از ساده‌ترین روش‌های ارزیابی مقاومت مخلوط‌های آسفالتی در برابر ترک‌خوردگی در دمای متوسط استفاده شده است [29-32]. نمونه‌های خمش نیم‌دایره‌ای دارای قطر 150 میلی‌متر و ضخامت 30 میلی‌متر است. برای تهیه‌ی نمونه‌های SCB ابتدا نمونه‌های استوانه‌ای با ارتفاع 160 میلی‌متر و قطر 150 میلی‌متر طبق آیین‌نامه‌ی ASTM D 8044-16 تهیه شده و سپس نمونه‌های دیسکی به ضخامت 30 میلی‌متر از آن برش داده می‌شود. سپس نمونه‌های دایره‌ای به‌دست آمده به دو نمونه‌ی نیم‌دایره‌ای برش داده شده و در وسط آن ترکی به طول 15 میلی‌متر و ضخامت 2 میلی‌متر ایجاد می‌شود. در شکل (۳) و (۴) به ترتیب مراحل آماده‌سازی و نحوه‌ی قرارگیری نمونه SCB نشان داده شده است.

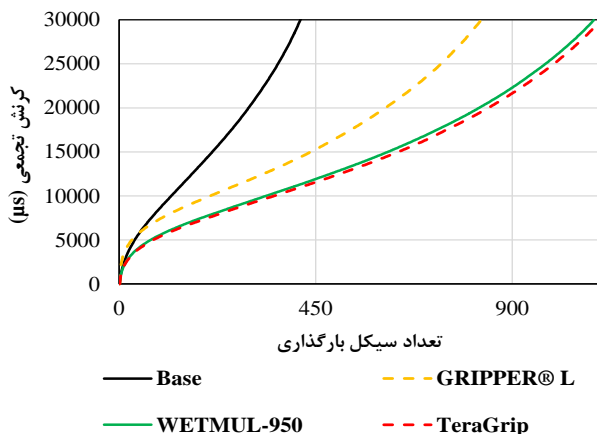
برای انجام آزمایش خمش نیم‌دایره‌ای از دستگاه UTM با نرخ بارگذاری 3 میلی‌متر بر دقیقه استفاده شده است [31,33]. تاکنون برای ارزیابی مقاومت در برابر ترک‌خوردگی مخلوط‌های آسفالتی از پارامترهای مختلفی استفاده شده است که در این تحقیق از شاخص‌های انرژی لازم برای شکست مخلوط‌های

آمینی با ایجاد یک سطح آب‌گریز در سطح مصالح سنگی سلیسی مقدار عدد روانی را به ترتیب در حدود ۴۳ و ۴۰ درصد افزایش داده‌اند.



شکل ۵ نتایج آزمایش خزش دینامیکی برای مخلوط‌های آسفالتی مختلف

شکل (۶) نمودار کرنش تجمعی - تعداد سیکل بارگذاری برای مخلوط‌های آسفالتی مختلف را نشان می‌دهد. با توجه به شکل می‌توان گفت که به ازای تعداد سیکل بارگذاری یکسان، مقدار کرنش تجمعی برای مخلوط‌های آسفالتی حاوی افزودنی ضد عریان شدگی کمتر شده است. مخلوط آسفالتی حاوی تراگریپ کمترین کرنش تجمعی را در بین افزودنی‌های مختلف از خود نشان داده است. جالب است که مخلوط‌های آسفالتی حاوی تراگریپ و وتمول -۹۵۰ با توجه به پایه شیمیایی یکسانی که دارند روند تقریباً مشابهی در نمودار تعداد سیکل بارگذاری - کرنش تجمعی از خود نشان داده‌اند.



شکل ۶ نمودار خزش دینامیکی مخلوط‌های آسفالتی مختلف تحت تنش ۴۰۰kPa و دمای ۵۴٫۴ درجه‌ی سانتی‌گراد

شاخص انعطاف‌پذیری (*Flexibility Index*) با توجه به اشاره‌ی تعدادی از پژوهشگران به کافی نبودن پارامتر انرژی لازم برای شکست مخلوط‌های آسفالتی برای ارزیابی مقاومت در برابر ترک‌خوردگی مخلوط‌های آسفالتی، در این تحقیق علاوه بر انرژی لازم برای شکست مخلوط‌های آسفالتی از پارامتر شاخص انعطاف‌پذیری به‌عنوان شاخصی برای ارزیابی تردی مخلوط‌های آسفالتی استفاده شده است [29,34].

$$FI = 0.01 * \frac{G_f}{|m|} \quad (9)$$

که در این رابطه G_f برابر با مقدار انرژی لازم برای شکست مخلوط‌های آسفالتی (J/m^2)، m برابر با شیب در نقطه‌ی عطف در قسمت دوم منحنی نیرو جابه‌جایی و A ضریب تبدیل واحد و ضریب مقیاس‌گذاری است که در این تحقیق برابر ۰/۰۱ در نظر گرفته شده است.

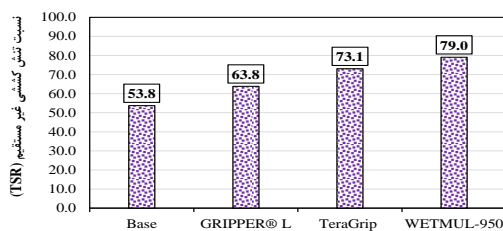
نتایج و بحث

در این تحقیق خواص مکانیکی و دوام مخلوط‌های آسفالتی (شامل یک مخلوط آسفالتی گرم بدون افزودنی ضد عریان شدگی و ۳ نوع مخلوط آسفالت گرم اصلاح‌شده با افزودنی ضد عریان شدگی مختلف) با استفاده از آزمایش‌های مدول برجهنگی، تنش کشش غیرمستقیم، حساسیت رطوبتی، خزش دینامیکی و آزمایش خمش نیم دایره‌ای مورد ارزیابی قرار گرفت. در ادامه، نتایج خواص مکانیکی هر یک از مخلوط‌های آسفالتی بیان شده است.

خزش دینامیکی

برای ارزیابی تأثیر افزودنی‌های مختلف بر شیار شدگی مخلوط‌های آسفالتی، از آزمایش خزش دینامیکی استفاده شده است. نتایج آزمایش خزش دینامیکی برای مخلوط‌های آسفالتی مختلف در شکل (۵) نشان داده شده است. با توجه به نتایج شکل (۵) می‌توان گفت که افزودن عامل‌های ضد عریان شدگی مقدار عدد روانی مخلوط‌های آسفالتی را افزایش داده و مقاومت در برابر شیار شدگی را افزایش داده است. به طوری که افزودن گریپر مقدار عدد روانی را حدود ۲۱٪ افزایش داده که می‌تواند ناشی از ایجاد پیوند کووالانسی قوی بین قیر و مصالح سنگی و افزایش نیروی چسبندگی بین قیر و مصالح سنگی باشد. از طرفی تراگریپ و وتمول -۹۵۰ به‌عنوان عامل‌های دارای خاصیت پلی

را به‌عنوان حد مرزی معرفی کرده‌اند [11]. شکل (۸) نشان می‌دهد که مقدار TSR برای ترکیب‌های مختلف مخلوط‌های آسفالتی به مقدار ۸۰ درصد نرسیده و همه‌ی مخلوط‌های آسفالتی مورد استفاده در این پژوهش هنوز مقاومت لازم در برابر حساسیت رطوبتی را ندارند. البته ذکر این نکته نیز مهم است که عوامل مختلفی از قبیل نوع و منبع قیر خالص و مصالح سنگی مورد استفاده می‌تواند نقش مهمی در حساسیت رطوبتی مخلوط‌های آسفالتی داشته باشد [35-7, 38].



شکل ۸ مقدار نسبت تنش کششی غیرمستقیم مخلوط‌های آسفالتی حاوی افزودنی ضد عریان شدگی

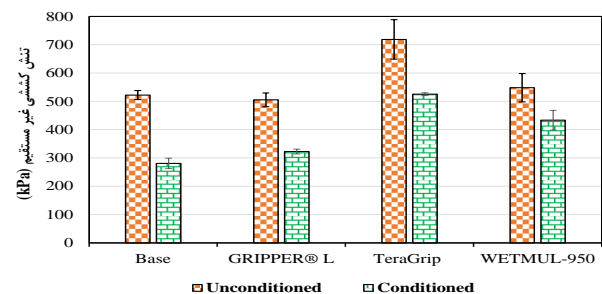
مدول برجهنگی و نسبت مدول برجهنگی

شکل (۹) مدول برجهنگی مخلوط‌های حاوی افزودنی‌های مختلف را در حالت تر و خشک نشان می‌دهد. با توجه به شکل می‌توان گفت که استفاده از افزودنی‌های ضد عریان شدگی، به دلیل ایجاد پیوند شیمیایی قوی بین قیر و مصالح سنگی و ایجاد یک سطح آب‌گریز با افزایش مقدار نیروی لازم برای چسبندگی و گسیختگی مقدار مدول برجهنگی را در حالت تر و خشک افزایش داده است. این افزایش مقدار مدول برجهنگی برای مخلوط‌های آسفالتی حاوی افزودنی ضد عریان شدگی در حالت خشک برای مخلوط حاوی گریپر و در حالت تر برای مخلوط حاوی وتمول -۹۵۰ به ترتیب با ۵۹/۷ و ۱۵۶ درصد افزایش بیشترین مقدار را داشته است.

شکل (۱۰) نسبت مدول برجهنگی برای مخلوط‌های آسفالتی حاوی افزودنی‌های ضد عریان شدگی مختلف را نشان می‌دهد. با توجه به این شکل می‌توان گفت نسبت مدول برجهنگی (RMR) با نسبت تنش کششی غیرمستقیم (TSR) روند مشابهی دارند. به طوری که اضافه کردن افزودنی ضد عریان شدگی به مخلوط‌های آسفالتی با توجه به خواص شیمیایی آن‌ها مقدار نسبت مدول برجهنگی را افزایش داده و تأثیر مثبتی بر مقاومت در برابر حساسیت رطوبتی مخلوط‌های آسفالتی داشته

تنش کششی غیرمستقیم و حساسیت رطوبتی

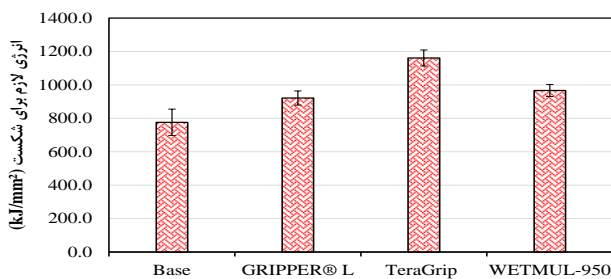
مقدار تنش کششی غیرمستقیم مخلوط‌های آسفالتی حاوی افزودنی‌های ضد عریان شدگی در حالت تر و خشک در شکل (۷) نشان داده شده است. با توجه به شکل می‌توان گفت که استفاده از افزودنی ضد عریان شدگی مقدار تنش کششی غیرمستقیم مخلوط‌های آسفالتی را در حالت تر افزایش داده است که این افزایش برای تراگریپ به دلیل واکنش قوی با سطح اسیدی بخصوص مصالح سنگی سیلیسی و ایجاد یک سطح آب‌گریز در سطح مصالح سنگی می‌باشد. اضافه کردن افزودنی‌های تراگریپ و وتمول -۹۵۰ برعکس افزودنی گریپر، مقدار تنش کششی غیرمستقیم مخلوط‌های آسفالتی را در حالت خشک نیز افزایش داده است. بیشترین مقدار افزایش تنش کششی غیرمستقیم برای مخلوط آسفالتی در حالت تر و خشک مربوط به مخلوط آسفالتی حاوی تراگریپ به ترتیب با ۸۶/۶٪ و ۷۳/۵٪ درصد افزایش است.



شکل ۷ مقدار تنش کششی غیرمستقیم مخلوط‌های آسفالتی حاوی افزودنی‌های ضد عریان شدگی در حالت تر و خشک

مقدار نسبت تنش کششی غیرمستقیم مخلوط‌های آسفالتی حاوی افزودنی ضد عریان شدگی در شکل (۸) نشان داده شده است. با توجه به شکل می‌توان گفت همان‌طوری که انتظار می‌رفت استفاده از همه‌ی افزودنی‌های مورد استفاده در این پژوهش با توجه به مکانیسم معرفی شده در قسمت معرفی افزودنی‌ها، مقدار TSR را افزایش داده است. به عبارت دیگری استفاده از افزودنی‌های گریپر، تراگریپ و وتمول -۹۵۰ به‌عنوان افزودنی ضد عریان شدگی، مقاومت در برابر حساسیت رطوبتی را افزایش داده است. بیشترین افزایش مقدار نسبت تنش کششی غیرمستقیم برای مخلوط آسفالتی حاوی وتمول -۹۵۰ برابر با ۲۵/۲ است. طبق مطالعات قبلی، به‌منظور ارزیابی حساسیت رطوبتی مخلوط‌های آسفالتی مختلف، مقدار TSR برابر ۸۰ درصد

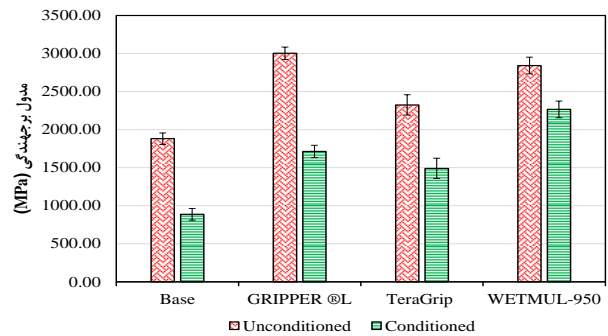
افزودنی‌های ضد عریان شدگی، با افزایش مقدار انرژی چسبندگی و پیوستگی بین قیر و مصالح سنگی به دلیل خواص شیمیایی آن‌ها مقدار انرژی لازم برای شکست نمونه‌های ساخته‌شده با این افزودنی‌ها را افزایش داده که برای افزودنی‌های گریپر، تراگریپ و وتمول-۹۵۰ به ترتیب ۱۸/۷، ۹/۶ و ۲۴/۶ درصد افزایش یافته است. از طرفی نتایج آزمایش شکست نشان داد که تراگریپ به دلیل داشتن زنجیر هیدروکربنی بلند در ساختار خود، سازگاری بیشتری با قیر داشته و باعث بهبود چسبندگی بین قیر و مصالح سنگی شده و در نتیجه منجر به افزایش مقدار انرژی لازم برای شکست و مقاومت در برابر ترک‌خوردگی مخلوط‌های آسفالتی شده است.



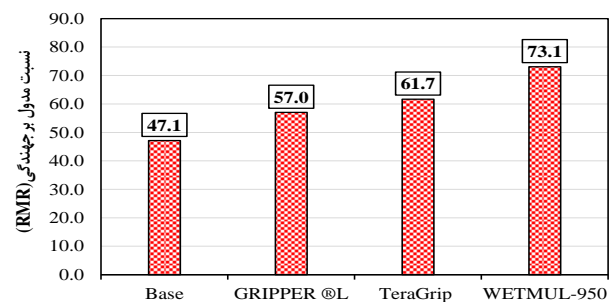
شکل ۱۱ مقدار انرژی لازم برای شکست مخلوط‌های آسفالتی حاوی افزودنی‌های ضد عریان شدگی

شکل (۱۲) شاخص انعطاف‌پذیری را برای مخلوط‌های آسفالتی حاوی افزودنی ضد عریان شدگی مختلف نشان می‌دهد. طبق این شکل، اصلاح قیر با عامل‌های ضد عریان شدگی انعطاف‌پذیری قیرهای اصلاح‌شده را افزایش داده بطوریکه گریپر و تراگریپ و وتمول-۹۵۰ مقدار این شاخص را به ترتیب ۵۵/۳، ۸۵/۵ و ۳۲/۹ درصد افزایش داده‌اند که این افزایش می‌تواند ناشی از خواص شیمیایی خاص ذکر شده برای هر یک از عامل‌های مورد استفاده در این پژوهش باشد. به عبارتی در این تحقیق استفاده از افزودنی‌های ضد عریان شدگی، مقدار شاخص انعطاف‌پذیری و مقاومت در برابر ترک‌خوردگی مخلوط‌های آسفالتی را افزایش داده است.

است. بیشترین افزایش مقدار نسبت مدول برجهندگی با ۵۵/۲ درصد برای مخلوط حاوی وتمول-۹۵۰ است. افزودنی‌های گریپر و تراگریپ نیز مقدار نسبت مدول برجهندگی مخلوط‌های آسفالتی را به ترتیب ۲۱ و ۳۱ درصد افزایش داده‌اند. همچنین بسیاری از محققان به منظور ارزیابی مقاومت در برابر حساسیت رطوبتی مخلوط‌های آسفالتی، مقدار ۷۰ درصد را به عنوان حد مرزی برای نسبت مدول برجهندگی در نظر گرفته‌اند. بطوریکه هر چه مقدار نسبت مدول برجهندگی از ۷۰ درصد بیشتر باشد، مقاومت در برابر حساسیت رطوبتی بیشتر خواهد بود. شکل (۱۰) نشان می‌دهد از بین مخلوط‌های آسفالتی مختلف، مخلوط آسفالتی حاوی افزودنی وتمول-۹۵۰ دارای نسبت مدول برجهندگی بالای ۷۳/۱ درصد بوده و مقاومت لازم در برابر حساسیت رطوبتی مخلوط‌های آسفالتی را داراست.



شکل ۹ مدول برجهندگی مخلوط‌های آسفالتی حاوی افزودنی‌های ضد عریان شدگی



شکل ۱۰ نسبت مدول برجهندگی مخلوط‌های آسفالتی حاوی افزودنی‌های ضد عریان شدگی

انرژی لازم برای شکست

مقدار انرژی لازم برای شکست مخلوط‌های آسفالتی حاوی افزودنی‌های ضد عریان شدگی در شکل (۱۱) نشان داده شده است. همان‌طور که شکل (۱۱) نشان می‌دهد با اضافه کردن

بین این دو آزمایش می‌باشد. از طرفی همبستگی بین آزمایش نسبت مدول برجهنگی و شاخص انعطاف‌پذیری با ۰/۳۸۴ کمترین ضریب همبستگی را بین پارامترهای مختلف داشته است.

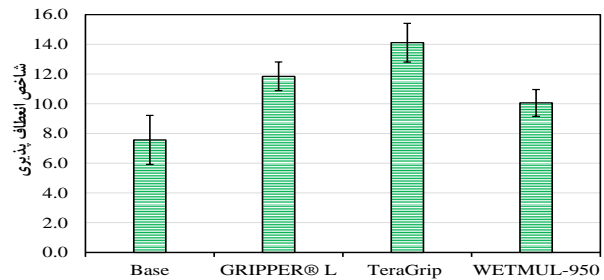
جدول ۳ نتایج تحلیل همبستگی بین پارامترهای مکانیکی مخلوط‌های آسفالتی مختلف

	FN	TSR	RMR	FE	FI
FN	۱				
TSR	۰/۹۵۷۸۵۲	۱			
RMR	۰/۸۷۲۶۰۴	۰/۹۷۴	۱		
FE	۰/۹۰۵۱۶۵	۰/۷۴۸۲۳۲	۰/۵۸۲۶۰۳	۱	
FI	۰/۷۵۸۲۸۵	۰/۵۴۹۶۴	۰/۳۸۴۱۷۲	۰/۹۱۹۴۱۳	۱

نتیجه‌گیری

در این پژوهش به ارزیابی تأثیر استفاده از افزودنی‌های گریپر، تراگریپ و و تمول-۹۵۰ به عنوان مواد افزودنی ضد عریان شدگی بر خواص مکانیکی مخلوط‌های آسفالتی داغ پرداخته شده است. بدین منظور از آزمایش‌های مکانیکی مختلف نظیر خزش دینامیکی در دمای ۵۴/۴ درجه‌ی سانتی‌گراد، آزمایش مدول برجهنگی در دمای ۲۵ درجه‌ی سانتی‌گراد، آزمایش کشش غیرمستقیم و آزمایش خمش نیم‌دایره‌ای در دمای ۲۵ درجه‌ی سانتی‌گراد استفاده گردید. در ادامه خلاصه نتایج عملکرد نمونه‌های مختلف بیان شده است:

۱. مطابق نتایج آزمایش خزش دینامیکی، افزودنی‌های مورد استفاده در این تحقیق با افزایش مقدار عدد روانی و کاهش کرنش جمعی به ازای سیکل بارگذاری یکسان، مقاومت مخلوط‌های آسفالتی اصلاح‌شده را در برابر شیار شدگی افزایش داده‌اند.
۲. نتایج آزمایش مدول برجهنگی و مقاومت کششی غیرمستقیم نشان داد به‌طور کلی افزودنی‌های ضد عریان شدگی مقدار مدول برجهنگی و مقاومت کشش غیرمستقیم مخلوط‌های آسفالتی اصلاح‌شده را در حالت تر و خشک افزایش داده است.
۳. به‌طور کلی اصلاح مخلوط‌های آسفالتی با افزودنی‌های مورد استفاده در این پژوهش با افزایش مقدار TSR مخلوط‌های آسفالتی، مقاومت در برابر خرابی حساسیت رطوبتی را افزایش



شکل ۱۲ شاخص انعطاف‌پذیری برای مخلوط‌های آسفالتی حاوی افزودنی‌های ضد عریان شدگی

همبستگی بین نتایج آزمایش‌های عملکردی

به‌منظور شناسایی و بررسی رابطه بین نتایج آزمایش‌های مختلف انجام گرفته با یکدیگر، می‌توان از شاخص‌هایی مانند کوواریانس و همبستگی استفاده کرد که در این تحقیق از ضریب همبستگی به‌منظور بررسی همبستگی بین نتایج آزمایش استفاده شده است. شاخص همبستگی بین دو متغیر همواره عددی بین ۱- و ۱- است. هرچه قدر این ضریب به عدد ۱ و ۱- نزدیک‌تر باشد نشان می‌دهد که دو متغیر باهم رابطه‌ی بیشتری داشته و در هم تندیگی داده‌ها بیشتر است (در حالت مثبت رابطه مستقیم و در حالت منفی رابطه معکوس دارند). به عبارت دیگری اگر ضریب همبستگی بین دو پارامتر مورد بررسی عددی مثبت باشد بدین معناست که با افزایش پارامتر اول، پارامتر دوم هم افزایش خواهد یافت و بالعکس. منفی بودن ضریب همبستگی بین دو پارامتر نیز نشان می‌دهد که با افزایش مقدار یک پارامتر مقدار پارامتر دوم کاهش خواهد یافت. همچنین در صورتی که این مقدار به صفر نزدیک باشد، آنگاه می‌توان گفت رابطه معناداری بین دو متغیر وجود ندارد. در جدول (۳) ضرایب همبستگی بین نتایج آزمایش‌های مخلوط‌های آسفالتی مختلف (پارامترهای خروجی آزمایش‌های مکانیکی صورت گرفته: نسبت مقاومت کششی غیرمستقیم (TSR)، نسبت مدول برجهنگی (RMR)، عدد روانی (FN)، انرژی لازم برای شکست (FE) و شاخص انعطاف‌پذیری (FI)) بررسی شده است. همان‌طوری که جدول (۳) نشان می‌دهد، بین نتایج آزمایش‌های انجام شده برای حالت مختلف مخلوط آسفالتی، ضرایب همبستگی عددی غیر صفر بوده است که به‌طور کلی نشان‌دهنده‌ی همبستگی بیشتر بین آزمایش‌های انجام شده در مخلوط‌های آسفالتی مختلف می‌باشد. ضریب همبستگی بین پارامتر TSR و RMR با ۰/۹۷۴ بیشترین مقدار را داشته و بیشترین همبستگی

تراگریپ و و تمول - ۹۵۰ مقدار انرژی لازم برای شکست و شاخص انعطاف‌پذیری مخلوط‌های آسفالتی اصلاح‌شده را افزایش داده است.

۶. آنالیز همبستگی بین نتایج آزمایش‌های عملکردی مخلوط‌های آسفالتی نشان داد بین مدول برجهنگی، عدد روانی، مقاومت کششی غیرمستقیم، انرژی لازم برای شکست و شاخص انعطاف‌پذیری مخلوط‌های آسفالتی، همبستگی و ارتباط بیشتری وجود دارد. به طوری که ضریب همبستگی بین پارامتر TSR و RMR با ۰/۹۷۴ بیشترین همبستگی را بین پارامترهای مختلف آزمایش‌های عملکردی دارند.

داده است. بطوریکه از بین افزودنی‌های مختلف، و تمول - ۹۵۰ با ۲۵/۲ درصد افزایش بیشترین تأثیر بر مقاومت در برابر حساسیت رطوبتی را داشته است.

۴. مقایسه نسبت مدول برجهنگی برای مخلوط‌های آسفالتی مختلف نشان داد نسبت مدول برجهنگی (RMR) با نسبت تنش کششی غیرمستقیم (TSR) روند مشابهی داشته و افزودنی‌های ضد عریان شدگی تأثیر مثبتی بر مقاومت در برابر حساسیت رطوبتی مخلوط‌های آسفالتی دارند.

۵. مطابق نتایج آزمایش خمش نیم دایره‌ای، اصلاح مخلوط‌های آسفالتی با استفاده از افزودنی‌های ضد عریان شدگی گریپر،

مراجع

1. Ameri, M., Kouchaki, S., Roshani, H., "Laboratory evaluation of the effect of nano-organosilane anti-stripping additive on the moisture susceptibility of HMA mixtures under freeze-thaw cycles", *Construction and Building Materials*, Vol. 48, pp. 1009-1016, (2013).
2. Ameri, M., Vamegh, M., Farhad, S., Naeni, C., Molyem, M., "Moisture susceptibility evaluation of asphalt mixtures containing Evonik , Zycotherm and hydrated lime", *Construction and Building Materials*, Vol. 165, pp. 958-965, (2018).
3. Ameri, M., Ziari, H., Yousefi, A., Behnood, A., "Moisture Susceptibility of Asphalt Mixtures: Thermodynamic Evaluation of the Effects of Antistripping Additives", *Journal of Materials in Civil Engineering*, Vol. Eng. 33(2), 4020457, (2021).
4. Behnood, A., "A review of the warm mix asphalt (WMA) technologies: Effects on thermo-mechanical and rheological properties", *Journal of Cleaner Production*, Vol. 259, 120817, (2020).
5. Behnood, A., Modiri Gharehveran, M., "Morphology, rheology, and physical properties of polymer-modified asphalt binders", *European Polymer Journal*, Vol. 112, pp. 766-791, (2019).
6. Behnood, A., Modiri Gharehveran, M., Gozali Asl, F., Ameri, M., "Effects of copper slag and recycled concrete aggregate on the properties of CIR mixes with bitumen emulsion, rice husk ash, Portland cement and fly ash", *Construction and Building Materials*, Vol. 96, pp. 172-180, (2015).
7. Bhasin, A., Masad, E., Little, D., Lytton, R., "Limits on adhesive bond energy for improved resistance of hot-mix asphalt to moisture damage", *Transportation Research Record*, Vol. 1970(1), pp. 2-13, (2006).
8. Bidgoli, M.A., Naderi, K., Nejad, F.M., "Effect of Filler Type on Moisture Susceptibility of Asphalt Mixtures Using Mechanical and Thermodynamic Properties", *Journal of Materials in Civil Engineering*, Vol. 31(4), pp. 1-10, (2019).
9. Buss, A., Cascione, A., Williams, R.C., "Evaluation of warm mix asphalt containing recycled asphalt shingles", *Construction and Building Materials*, Vol. 61, pp. 1-9, (2014).
10. Cominsky, R.J., Huber, G.A., Kennedy, T.W., Anderson, M., "The Superpave mix design manual for new

- construction and overlays", No. SHRP-A-407, Washington, DC: Strategic Highway Research Program, (1994).
11. Fakhri, M., Azami, A., "Evaluation of warm mix asphalt mixtures containing reclaimed asphalt pavement and crumb rubber", *Journal of Cleaner Production*, Vol. 165, pp. 1125–1132, (2017).
 12. Gorkem, C., Sengoz, B., "Predicting stripping and moisture induced damage of asphalt concrete prepared with polymer modified bitumen and hydrated lime", *Construction and Building Materials*, Vol. 23, pp. 2227–2236, (2009).
 13. Guo, N., You, Z., Zhao, Y., Tan, Y., Diab, A., "Laboratory performance of warm mix asphalt containing recycled asphalt mixtures", *Construction and Building Materials*, Vol. 64, pp. 141–149, (2014).
 14. Haghshenas, H.F., Rea, R.C., Reinke, G., Yousefi, A., Haghshenas, D.F., Ayar, P., "The Effect of Recycling Agents on the Resistance of Asphalt Binders to Cracking and Moisture Damage", *Journal of Materials in Civil Engineering*, 33(10), p.04021292, (2021).
 15. Hamedi, G. H., Moghadas Nejad, F., & Oveisi, K., "Road Materials and Pavement Design Investigating the effects of using nanomaterials on moisture damage of HMA", *Road Materials and Pavement Design*, Vol. 37–41, (2015).
 16. Kakar, M.R., Hamzah, M.O., Akhtar, M.N., Woodward, D., "Surface free energy and moisture susceptibility evaluation of asphalt binders modified with surfactant-based chemical additive", *Journal of Cleaner Production*, Vol. 112, pp. 2342–2353, (2016).
 17. Karahancer, S., Eriskin, E., Saltan, M., Terzi, S., Akbas, M.Y., Cengizhan, A., "Moisture Susceptibility of Nano-Al₂O₃ and SiO₂ Modified Asphalt Mixtures, in: Airfield and Highway Pavements 2019: Testing and Characterization of Pavement Materials", *American Society of Civil Engineers Reston, VA*, pp. 127–135, (2019).
 18. Kavussi, A., Qorbani, M., Khodaii, A., Haghshenas, H.F., "Moisture susceptibility of warm mix asphalt: a statistical analysis of the laboratory testing results", *Construction and Building Materials*, Vol. 52, pp. 511–517, (2014).
 19. Kennedy, T.W., Huber, G.A., Harrigan, E.T., Cominsky, R.J., Hughes, C.S., Von Quintus, H., Moulthrop, J.S., "Superior performing asphalt pavements (Superpave): The product of the SHRP asphalt research program", (1994).
 20. Khodaii, A., Kazemi Tehrani, H., Haghshenas, H.F., "Hydrated lime effect on moisture susceptibility of warm mix asphalt", *Construction and Building Materials*, Vol. 36, pp. 165–170, (2012).
 21. Kok, B.V., Yilmaz, M., "The effects of using lime and styrene-butadiene-styrene on moisture sensitivity resistance of hot mix asphalt", *Construction and Building Materials*, Vol. 23(5), pp. 1999–2006, (2009).
 22. Little, D.N., Jones, D.R., "Chemical and mechanical processes of moisture damage in hot-mix asphalt pavements", *National Seminar on Moisture Sensitivity of Asphalt Pavements*, Vol. pp. 37–70, (2003).
 23. Mirzababaei, P., "Effect of zycotherm on moisture susceptibility of Warm Mix Asphalt mixtures prepared with different aggregate types and gradations", *Construction and Building Materials*, Vol. 116, pp. 403–412, (2016).
 24. Nakhaei, M., Naderi, K., Akbari, A., Timm, D.H., "Moisture resistance study on PE-wax and EBS-wax modified warm mix asphalt using chemical and mechanical procedures Moisture resistance study on PE-wax and EBS-wax modified warm mix asphalt using chemical and mechanical procedures", *Construction and Building Materials*, Vol. 189, (November), pp. 882–889, (2018).

25. Ozer, H., Al-Qadi, I.L., Lambros, J., El-Khatib, A., Singhvi, P., Doll, B., "Development of the fracture-based flexibility index for asphalt concrete cracking potential using modified semi-circle bending test parameters", *Construction and Building Materials*, Vol. 115, pp. 390–40, (2016).
26. Pirmohammad, S., Khanpour, M., "Fracture strength of warm mix asphalt concretes modified with crumb rubber subjected to variable temperatures", *Road Materials and Pavement Design*, Vol. 1–19, (2020).
27. Shafabakhsh, G.H., Faramarzi, M., Sadeghnejad, M., "Use of Surface Free Energy method to evaluate the moisture susceptibility of sulfur extended asphalts modified with antistripping agents", *Construction and Building Materials*, Vol. 98, pp. 456–464, (2015).
28. Sobhi, S., yusefi, A., hesami, S., Ameri, M., "An investigation of factors affecting the moisture sensitivity of warm mix asphalt (WMA) ", *Amirkabir Journal of Civil Engineering*, Vol. 52(1), pp. 187–212, (2020).
29. Wang, W., Wang, L., Xiong, H., Luo, R., "A review and perspective for research on moisture damage in asphalt pavement induced by dynamic pore water pressure", *Construction and Building Materials*, Vol. 204, pp. 631–642, (2019).
30. Xiao, F., Zhao, W., Gandhi, T., Amirhanian, S.N., "Influence of antistripping additives on moisture susceptibility of warm mix asphalt mixtures", *Construction and Building Materials*, Vol. 22(10), pp. 1047–1055, (2010).
31. Yousefi, Afshar, Behnood, A., Nowruzi, A., Haghshenas, H., "Performance evaluation of asphalt mixtures containing warm mix asphalt (WMA) additives and reclaimed asphalt pavement (RAP) ", *Construction and Building Materials*, Vol. 121200, (2020).
32. yousefi, A., Nowruzi, A, yousefi, Y., Sobhi, S., "Evaluation of the effect of loading rate of Semicircular Bending test on different fracture mechanical parameters of asphalt mixtures at intermediate temperature", *Journal of Transportation Research*, Vol. 19(1), pp. 163-176, (2020).
33. Yousefi, A, Pirmohammad, S., Sobhi, S., "Fracture Toughness of Warm Mix Asphalts Containing Reclaimed Asphalt Pavement", *Journal of Stress Analysis*, Vol. 5(1), pp. 85–98, (2020).
34. Yousefi, A.A., Sobhi, S., Aliha, M.R.M., Pirmohammad, S., Haghshenas, H.F., "Cracking Properties of Warm Mix Asphalts Containing Reclaimed Asphalt Pavement and Recycling Agents under Different Loading Modes", *Construction and Building Materials*, Vol. 300, 124130, (2021).
35. Zhdanov, S.P., Kosheleva, L.S., Titova, T.I., "IR study of hydroxylated silica", *Langmuir*, Vol. 3(6), 960–967, (1987).
36. Zhu, C., Tang, J., Zhang, H., Duan, H., "Effect of liquid anti-stripping agents on moisture sensitivity of crumb rubber modified asphalt binders and mixtures", *Construction and Building Materials*, Vol. 225, pp. 112–119, (2019).
37. Zumrawi, M.M.E., Edrees, S.A.S., "Comparison of Marshall and Superpave asphalt design methods for Sudan pavement mixes", *International Journal of Scientific and Technical Advancements*, Vol. 2(1), pp. 29–35, (2016).
38. Ziari, H., Orouei, M., Divandari, H., Yousefi, A., "Mechanical Characterization of Warm Mix Asphalt Mixtures Made with RAP and Para-fiber additive", *Construction and Building Materials*, Vol. 279, 122456. (2021).

